

AC188K

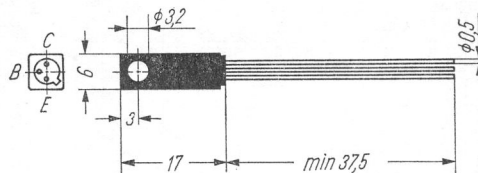
Typ tranzystora: tranzystor germanowy

Firma: TELEFUNKEN

Wykonanie: tranzystor germanowy stopowy p-n-p w obudowie metalowej, wyprowadzenia izolowane elektrycznie od obudowy, ciężar max 4 G

Zastosowanie: stopnie wyjściowe do 3,5 W, w układach przeciwobnych jako komplementarny do AC187K

Typy podobne: GC511 (Tes)



Rys. 1-93. AC188K

Wartości charakterystyczne¹⁾

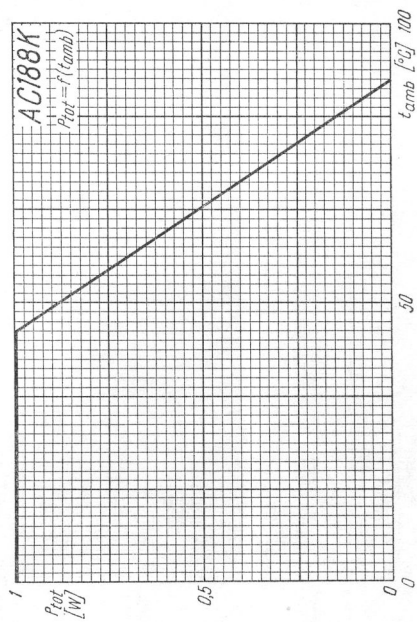
	min	typ	max		
$-I_{CBO}$		5	15	μA	przy $-U_{CB} = 10 V$
$-I_{CBO}$	0,4	1,1		mA	przy $-U_{CB} = 10 V, t_{amb} = 90^\circ C$
$-I_{CBO}$	20	200		μA	przy $-U_{CB} = 25 V$
$-I_{CBO}$	0,5	1,4		mA	przy $-U_{CB} = 25 V, t_{amb} = 90^\circ C$
$-I_{CES}$			200	μA	przy $-U_{CE} = 25 V, -U_{BE} = 1 V$
$-I_{EBO}$	15	200		μA	przy $-U_{EB} = 10 V$
$-U_{CE sat}^{2)}$		0,6		V	przy $-I_C = 1 A$ dla krzywych, które przy równym I_B przechodzą przez punkt $-U_{CE} = 1 V, -I_C = 1,1 A$
$-U_{BE}$	115		145	mV	przy $-U_{CE} = 10 V, -I_C = 5 mA$
$-U_{BE}$		0,28		V	przy $-U_{CB} = 0, -I_C = 50 mA$
$-U_{BE}^{2)}$		0,45		V	przy $-U_{CB} = 0, -I_C = 300 mA$
$-U_{BE}^{2)}$			0,7	V	przy $-U_{CB} = 0, -I_C = 1 A$
$-I_B$	0,11	0,55		mA	przy $-U_{CB} = 0, -I_C = 50 mA$
$-I_B^{2)}$	0,6		3	mA	przy $-U_{CB} = 0, -I_C = 300 mA$
$-I_B^{2)}$			12,4	mA	przy $-I_{CB} = 0, -I_C = 1 A$
$-U_{CEO}^{2)}$	15			V	przy $-I_C = 300 mA$
$-U_{CBO}$	25			V	przy $-I_C = 200 \mu A$
$-U_{BE0}$	10			V	przy $-I_E = 200 \mu A$
h_{21E}	91		455		przy $-U_{CB} = 0, -I_C = 50 mA$
$h_{21E}^{2)}$	100		500		przy $-U_{CB} = 0, -I_C = 300 mA$
$h_{21E}^{2)}$	80				przy $-U_{CB} = 0, -I_C = 1 A$
f_T	1	1,5		MHz	przy $-U_{CE} = 2 V, -I_C = 10 mA$
f_{h21e}		10		kHz	przy $-U_{CE} = 2 V, -I_C = 10 mA$
C_{CB}		100		pF	przy $-U_{CB} = 5 V, -I_E = 0, f = 450 kHz$

Wartości graniczne

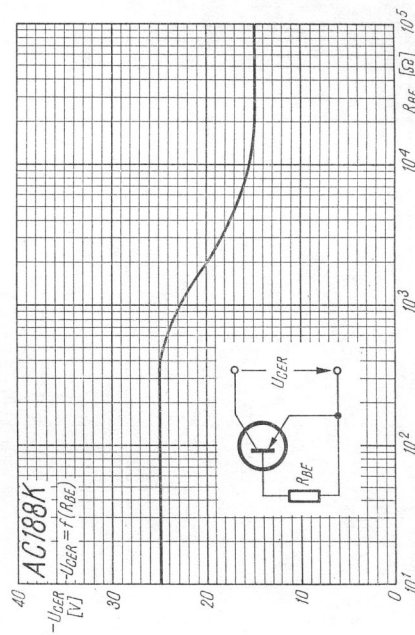
$-U_{CBO max}$	25	V	$-I_B max$	0,3	A
$-U_{CEO max}$	15	V	$P_{tot max}$	1	W
$-U_{EBO max}$	10	V	$t_j max$	90	$^\circ C$
$-I_C max$	1	A	t_{stg}	-55 ÷ +75	$^\circ C$
$-I_{CM max}$	2	A	$R_{th j-a max}$	45	$^\circ C/W$

¹⁾ $t_{amb} = 25^\circ C$

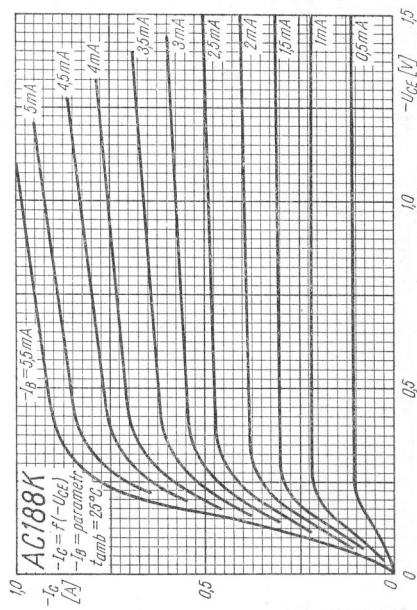
²⁾ pomiar impulsem $t_p = 0,5 ms, V = 0,01$



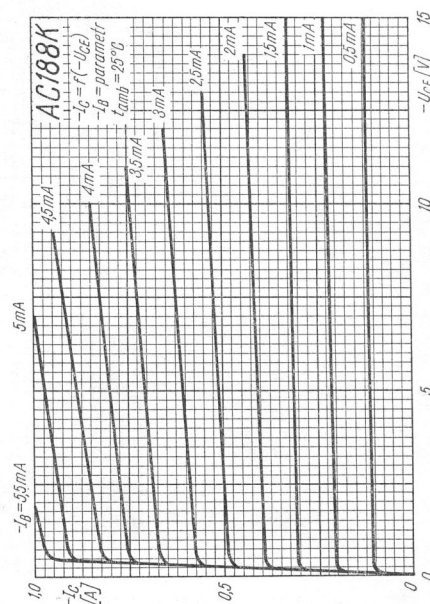
Rys. 1-94. Charakterystyka dopuszczalnej mocy strat w zależności od temperatury otoczenia



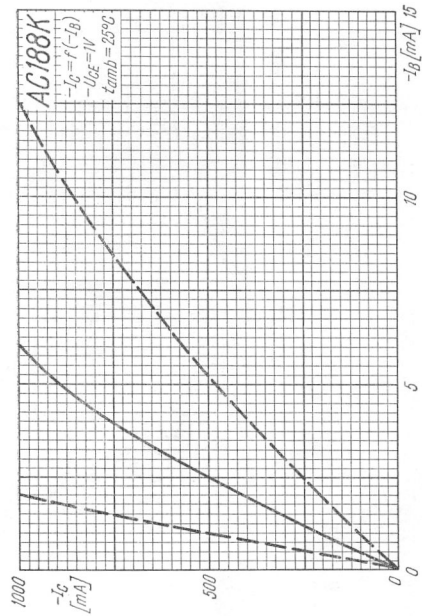
Rys. 1-95. Charakterystyka dopuszczalnego napięcia kolektora w zależności od rezystancji R_{BE}



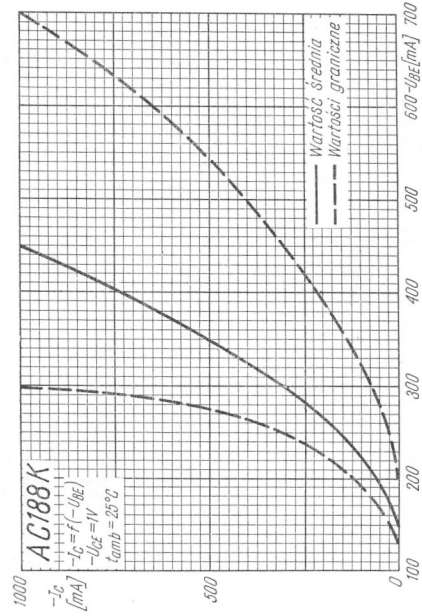
Rys. 1-96. Charakterystyki wyjściowe



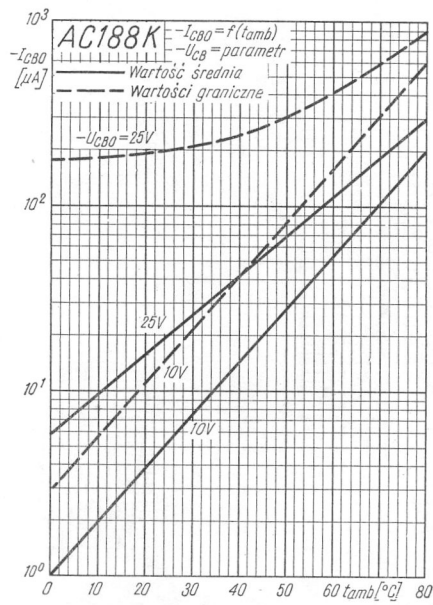
Rys. 1-97. Charakterystyki wyjściowe



Rys. 1-98. Charakterystyka sterowania prądowego



Rys. 1-99. Charakterystyka wejściowa



Rys. 1-100. Zależność prądu zerowego kolektora od temperatury otoczenia